

6  
Б-90

ЛЯП

7-3

# ОБЪЕДИНЕННЫЙ ИНСТИТУТ ЯДЕРНЫХ ИССЛЕДОВАНИЙ

Лаборатория ядерных проблем

Ю.А. Будагов, С.Виктор, В.П. Джелепов, П.Ф. Ермолов

В.И. Москалев

Р. 268

## О НАБЛЮДЕНИИ РАСПАДА $\bar{f}^0 \rightarrow e^- e^+ e^- e^+ e^+$ ЖЭТФ, 1959, Т 36, № 4, с 1080.

Дубна, 1959 год.

6  
Б-90

Ю.А. Будагов, С.Виктор, В.П. Джелепов, П.Ф. Ермолов  
В.И. Москалев

Р. 268

О НАБЛЮДЕНИЙ  
РАСПАДА  $\pi^0 \rightarrow e^- e^+ e^- e^+$

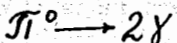
Объединенный институт  
ядерных исследований  
БИБЛИОТЕКА

## Аннотация

При просмотре фотографий, полученных с помощью водородной диффузионной камеры, помещенной в магнитное поле и экспонированной в пучке  $\bar{\Pi}^-$ -мезонов с энергией 180 Мэв, найден случай зарядо-обменного рассеяния  $\bar{\Pi}^+ p \rightarrow \bar{\Pi}^0 + p$  с последующим распадом  $\bar{\Pi}^0 \rightarrow e^- + e^+ + e^- + e^+$ . Этот распад наблюден на 2500 распадов  $\bar{\Pi}^0$ -мезона по обычной схеме  $\bar{\Pi}^0 \rightarrow 2\gamma$ . Оценка массы  $\bar{\Pi}^0$ -мезона дает величину  $141 \pm 8$  Мэв. В системе покоя  $\bar{\Pi}^0$ -мезона углы разлета между электронами и позитронами пар равны  $7^\circ$  и  $12^\circ$ , а угол между плоскостями пар не превышает  $37^\circ$ . Другие возможные интерпретации наблюдаемого случая имеют чрезвычайно малую вероятность.

## Введение

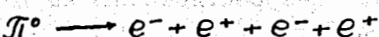
Как известно, помимо основного типа распада



примерно один  $\bar{\Pi}^0$ -мезон из 80 распадается по схеме, предложенной Далицем:



Такой распад можно интерпретировать как внутреннюю конверсию одного из гамма-квантов в поле другого гамма-кванта. Возможен также процесс двойной внутренней конверсии гамма-квантов, ведущий к распаду  $\bar{\Pi}^0$ -мезона на две электронно-позитронные пары:



По теоретическим оценкам<sup>/2/</sup> вероятность распада /3/ по отношению к обычному распаду /1/ составляет  $3,47 \cdot 10^{-5}$  /если спин  $\bar{\Pi}^0$ -мезона равен 0/. Все частицы распада  $\bar{\Pi}^0$ -мезона по схеме /3/ являются заряженными и, следовательно, легко доступными для регистрации их в приборе типа диффузионной или пузырьковой камеры. Поэтому наблюдение таких распадов в камере может дать ряд важных сведений о свойствах  $\bar{\Pi}^0$ -мезона. Так, измеряя импульсы всех четырех электронов по радиусам кривизны в магнитном поле, можно определить массу  $\bar{\Pi}^0$ -мезона, а изучение угловой корреляции между плоскостями обеих пар позволяет непосредственно от опыта найти спин и четность  $\bar{\Pi}^0$ -мезона /2,3/. Однако, ввиду чрезвычайно малой вероятности систематическое экспериментальное исследование процесса /3/ встречает определенные трудности. Нам известен лишь один случай такого распада, описанный в литературе. Ходсон, Баллам, Арнольд и др.<sup>/4/</sup>, изучая с помощью управляемой камеры Вильсона рождение тяжелых нестабильных частиц в космических лучах, нашли случай, кинематика которого

согласуется с распадом  $K^+ \rightarrow \pi^+(\mu^+) + \pi^0 + Q$ ,  $\pi^0 \rightarrow e^- + e^+ + e^- + e^+$ . Так как в этой работе было зарегистрировано всего 60  $\pi^\pm$ -распадов, и к тому же только в части этих случаев образуются  $\Pi^0$ -мезоны, вероятность наблюдения распада /3/ была очень мала. Как отмечают сами авторы, появление распада /3/ в условиях их эксперимента, в котором не наблюдалось ни одного случая значительно более вероятного распада /2/, предстает необычной статистической флюктуацией. Углы между электронами и позитронами пар в случае<sup>/4/</sup> оказались настолько малыми  $0,5^\circ$  и  $1,7^\circ$  в лабораторной системе/, что определить угол между плоскостями пар не представилось возможным.

В настоящей статье описывается случай зарядово-обменного рассеяния  $\pi^- + p \rightarrow \pi^0 + n$  с последующим распадом  $\pi^0 \rightarrow e^- + e^+ + e^- + e^+$ , зарегистрированный в диффузионной камере /рис.1/.

#### Условия опыта

Фотография описываемого распада была получена при изучении рассеяния  $\Pi^-$ -мезонов протонами с помощью диффузионной камеры, наполненной водородом до давления 25 атмосфер<sup>/5/</sup>. Внутренний диаметр камеры равен 380 мм, высота чувствительного объема при температурном градиенте 7 град/см составляла 6-7 см. Камера была помещена в постоянное магнитное поле 9000 Гс с неоднородностью по высоте чувствительного объема не более  $\pm 3,5\%$  и по радиусу не более  $\pm 2,5\%$ . Топография магнитного поля была снята с помощью магнитометра, принцип действия которого основан на эффекте Холла, и калиброванного методом протонного резонанса<sup>x/</sup>. Фотографирование производилось стереофотоаппаратом с двумя объективами ГОИ "Гелиос-37", фокусное расстояние которых равно 62 мм, на 35 мм пленку ПАНХРОМ-X с чувствительностью 1000 ед. ГОСТ. Объективы "Гелиос-37" скорректированы на дисторсию, возникающую при фотографировании через верхние стеклянные окна камеры толщиной 25 мм, и имеют разрешение 50 линий/мм в центре поля зрения. База стереофотоаппарата равна 120 мм, расстояние съемки около 1 м.

Камера экспонировалась в пучке  $\Pi^-$ -мезонов со средней энергией 160 Мэв от синхроциклоэлектрона Объединенного института ядерных исследований, причем интенсивность пучка поддерживалась такой, что на каждой фотографии в среднем было 30-40 следов  $\Pi^-$ -мезонов. Цикл работы камеры равен 8 сек. В серии экспозиций получено около 90000 стереофотографий, при просмотре которых наряду с 1400 случаями упругого рассеяния  $\Pi^-$ -мезонов протонами и 26 случаями зарядовообменного рассеяния с последующим распадом  $\pi^0 \rightarrow e^- + e^+ + \gamma$  был найден описываемый случай  $\pi^- + p \rightarrow \pi^0 + n$ ,  $\pi^0 \rightarrow e^- + e^+ + e^- + e^+$ . Сообщение о результатах обработки 14 распадов  $\pi^0 \rightarrow e^- + e^+ + \gamma$  опубликовано нами ранее<sup>6/</sup>.

<sup>x/</sup> Мы благодарны Д.П. Василевской и Ю.Н. Денисову за предоставленную возможность воспользоваться этим прибором.

Обработка и результаты

Как видно из рис.1, представляющего стереофотографию анализируемого случая, след одного из  $\Pi^-$ -мезонов [1], проходящих через камеру, обрывается внутри чувствительного объема, и из точки обрыва в заднюю полусферу вылетают четыре частицы с ионизацией, близкой к минимальной, причем две из них заряжены положительно [3, 6], а две - отрицательно [2, 4].

Обработка этого случая производилась репроекционным методом. Конструкция и основные характеристики репроектора аналогичны описанным в статье [7]. Непосредственно на репроекторе были измерены: 1) радиусы кривизны всех пяти треков; 2) углы  $\alpha$  между падающим  $\Pi^-$ -мезоном и каждой частицей распада; 3) азимутальные углы  $\beta$  каждой частицы распада; 4) глубинные углы  $\gamma$ , т.е. углы между направлением движения частицы и горизонтальной плоскостью. На рис.2 схематически представлены углы  $\alpha$ ,  $\beta$  и  $\gamma$  для одной частицы распада.

Радиусы кривизны треков были измерены с помощью шаблонов, а также координатным методом на микроскопе УИМ-22. Оба метода измерения дали в пределах ошибок одинаковые результаты. Точность измерения радиуса кривизны каждого трека зависит от величины кривизны, длины и направления трека в пространстве. В величины импульсов частиц, определенные по измеренным радиусам и глубинным углам  $\gamma$ , вносились поправки на неоднородность магнитного поля  $1 \sim 2\%$  и усадку пленки  $1 \sim 1\%$ . Поправки, обусловленные дисторсией оптической системы и тем, что изображение на пленке является конической проекцией действительного трека, при измерениях координатным методом были малы и не учитывались. Произведенные оценки показали, что многократное рассеяние частиц в газе камеры и тормозное излучение также практически не влияют на результаты измерений.

В таблице 1 приведены значения радиусов кривизны, полученные как средние значения измерений на двух кадрах стереопары репроекционным и координатным методом, и соответствующие им импульсы частиц. Ошибки, указанные для радиусов, представляют собой максимальные ошибки измерений. Для импульсов приведены суммарные ошибки, учитывающие как неточность измерений радиусов кривизны и глубинных углов, так и неопределенности, связанные с введением поправок.

Таблица 1.

№ № трека	Частица	Радиус кривизны /см/	Импульс /Мэв/с/
1	$\Pi^-$	$105 \pm 5$	$272 \pm 16$
2	$e^-$	$20 \pm 4$	$72 \pm 18$
3	$e^+$	$3,75 \pm 0,15$	$13,9 \pm 0,7$
4	$e^-$	$4,2 \pm 0,1$	$15,8 \pm 0,5$
5	$e^+$	$29 \pm 3$	$100 \pm 13$

Плотность ионизации, производимая частицами в камере, оценивалась визуально и для всех частиц не превышала более чем в полтора раза минимальную. Сопоставление полученных импульсов частиц с их ионизацией показывает, что все частицы распада являются электронами.

В таблице 11 приведены измеренные величины углов  $\alpha$ ,  $\beta$  и  $\gamma$ . Точность измерения углов  $\pm 1^\circ$ . Поправки к углам, обусловленные усадкой пленки, пренебрежимо малы.

Таблица 11.

№№ трека	Частица	$\alpha$	$\beta$	$\gamma$
2	$e^-$	$138^\circ$	$84^\circ$	$42^\circ$
3	$e^+$	$138^\circ$	$94^\circ$	$42^\circ$
4	$e^-$	$127^\circ$	$-56^\circ$	$-41^\circ$
5	$e^+$	$128^\circ$	$-48^\circ$	$-36^\circ$

По измеренным импульсам электронов и углам  $\alpha$  и  $\beta$  легко вычислить направление и величину суммарного импульса всех четырех электронов:  $P_c = 147 \pm 26$  Мэв/с;  $\alpha_c = 153^\circ \pm 2^\circ$ , причем полная энергия всех электронов равна  $202 \pm 32$  Мэв. Из кинематики процесса  $\pi^- + p \rightarrow \pi^0 + n$  при кинетической энергии  $\pi^-$ -мезона  $166 \pm 14$  Мэв /что соответствует измеренному импульсу  $\pi^-$ -мезона  $272 \pm 16$  Мэв/с/ следует, что  $\pi^0$ -мезон, вылетающий под углом  $153^\circ \pm 2^\circ$ , должен иметь импульс  $163 \pm 7$  Мэв/с и полную энергию  $212 \pm 6$  Мэв. Таким образом, кинематически четыре электрона эквивалентны  $\pi^0$ -мезону от реакции  $\pi^- + p \rightarrow \pi^0 + n$ , вылетающему под углом  $153^\circ \pm 2^\circ$ .

Относительно большие ошибки в величине полной энергии и суммарного импульса четырех электронов позволяют лишь грубо оценить массу  $\pi^0$ -мезона. Однако, принимая во внимание некоторые кинематические соотношения, связывающие массу  $\pi^0$ -мезона с измеренными величинами импульсов и углов, можно уточнить значение массы  $\pi^0$ -мезона, которая при этом оказывается равной  $141 \pm 8$  Мэв. Эта величина в пределах ошибок измерений согласуется с общепринятым в настоящее время значением массы 135 Мэв.

В таблице 111 приведены углы между частицами и плоскостями пар, рассчитанные в лабораторной системе и системе покоя  $\pi^0$ -мезона, а также импульсы электронов в системе покоя  $\pi^0$ -мезона. Для вычисления этих величин были приняты такие пределы изменений импульсов частиц внутри экспериментальных ошибок, указанных в таблице 1, которые кинематически соответствуют массе  $\pi^0$ -мезона 135 Мэв.

Таблица 111

№ № трека	Частица	Лабораторная система		Система покоя $\bar{\pi}^0$ -мезона		
		Угол между частичами	Угол между плоскостями	Импульс /Мэв/с/	Угол между част.	Угол между плоск.
2	$e^-$	$\theta_{23}^{ac} = 6,5^\circ \pm 1^\circ$	М. СОИ вектор импульса	56,1	$\theta_{23} = 7^\circ \pm 2^\circ$	непр.
3	$e^+$			11,9		
4	$e^-$	$\theta_{45}^{ac} = 6,5^\circ \pm 1,5^\circ$	М. СОИ вектор импульса	9,0	$\theta_{45} = 12^\circ \pm 4^\circ$	$\varphi < 37^\circ$
5	$e^+$			58,7		

В системе покоя  $\bar{\pi}^0$ -мезона частицы распада образуют две электронно-позитронные пары с малыми углами между электроном и позитроном /таблица 111/ и с равными и противоположно направленными импульсами, причем баланс суммы проекций импульсов на координатные оси выполняется с высокой степенью точности. /В принципе, можно рассматривать анализируемый случай, как распад  $\bar{\pi}^0$ -мезона на две электронно-позитронные пары с углами разлета, близкими к  $180^\circ$ , однако согласно /1/ появление двух таких широкоугольных пар в результате внутренней конверсии примерно в 400 раз менее вероятно, чем пар с углами  $10^\circ$ .

Ввиду того, что углы разлета  $\theta$  между частицами пар сравнительно малы, угол между плоскостями пар может быть определен только с большой погрешностью. Вычисления показывают, что в системе покоя  $\bar{\pi}^0$ -мезона величина его не превышает  $37^\circ$ , хотя для псевдоскалярного мезона более вероятными являются углы, близкие к  $90^\circ$ .

#### Возможные примеры другой интерпретации

Рассмотрим несколько других возможных объяснений наблюдаемого случая.

a/ Пусть  $\bar{\pi}^0$ -мезон, образовавшийся в результате перезарядки, распадается по обычной схеме /1/ на два  $\gamma$ -кванта, которые затем конвертируют в электронно-позитронные пары на таком близком расстоянии от точки распада  $\bar{\pi}^0$ -мезона, что это расстояние не может быть разрешено на фотографии. Вероятность того, что оба  $\gamma$ -кванта от распада  $\bar{\pi}^0$ -мезона конвертируют в водороде камеры на расстоянии не больше 1 мм /ширина трека  $\sim 0,5$  мм/ составляет  $2,2 \cdot 10^{-12}$ . Так как на всех просмотренных пленках было зарегистрировано около 1400 случаев упругого  $\bar{\pi}^0$ -рассеяния, а отношение сечений зарядово-обменного и упругого  $\bar{\pi}^0$ -рассеяния для этих энергий рав-

но  $1,8^{/6/}$ , то полное число  $\Pi^0$ -мезонов, распавшихся в камере, равно 2500. Таким образом, вероятность наблюдения в нашем эксперименте конверсии обоих  $\gamma$ -квантов на расстоянии  $< 1$  мм равна  $5,5 \cdot 10^{-9}$ .

б/ Если  $\Pi^0$ -мезон распадается по схеме /2/ и затем  $\gamma$ -квант конвертирует на расстоянии  $< 1$  мм от точки распада  $\Pi^0$ -мезона, то вероятность наблюдения такого случая в нашем эксперименте составляет  $4,7 \cdot 10^{-5}$ .

в/ Кинетическая энергия  $\Pi^0$ -мезона  $166 \pm 14$  Мэв несколько превышает порог реакции  $\bar{\pi} + p \rightarrow \bar{\pi}^0 + \bar{\pi}^0 + \eta$ , который равен 160 Мэв. Поэтому при распаде обоих  $\Pi^0$ -мезонов, образовавшихся в этой реакции, по схеме /2/, мы можем наблюдать случай, аналогичный рассматриваемому. По грубой оценке, в которой было использовано сечение указанной выше реакции  $7 \cdot 10^{-30} \text{ см}^2$ , рассчитанное для энергии  $\Pi^0$ -мезона 260 Мэв<sup>/8/</sup>, вероятность наблюдения такого случая много меньше  $9 \cdot 10^{-5}$ . Против такой интерпретации говорит и чрезвычайно хорошее согласие кинематики наблюданного случая с кинематикой распада /3/.

г/ Согласно оценкам /2/ только один  $\Pi^0$ -мезон из 29000 распадается по схеме /3/. Следовательно, вероятность наблюдения такого распада среди полученного нами опытного материала составляет около 0,09. Сопоставление этой величины с оценками а/, б/, в/, а также хорошее согласие с кинематикой не составляют сомнения в достоверности наблюдения распада  $\Pi^0 \rightarrow e^- + e^+ + e^- + e^+$ .

### Заключение

Как отмечалось выше, при распаде  $\Pi^0$ -мезона на две электронно-позитронные пары между плоскостями пар существует определенная угловая корреляция, изучение которой позволяет непосредственно установить спин и четность  $\Pi^0$ -мезона. Корреляционная функция имеет вид

$$W(\varphi) \sim 1 + \lambda \cos 2\varphi,$$

где  $\varphi$  - угол между плоскостями пар. Кролл и Вада<sup>/2/</sup> нашли, что для спина  $\Pi^0$ -мезона О-коэффициент корреляции  $\lambda$  равен  $\pm 0,18$ , причем знак плюс относится к четному  $\Pi^0$ -мезону, знак минус к нечетному. Корреляция здесь значительно более сильная, чем корреляция между плоскостями пар, образованных  $\gamma$ -квантами от распада  $\Pi^0 \rightarrow 2\gamma$ <sup>/9,10/</sup>. В работе Джозефа<sup>/3/x/</sup> анализировалась угловая корреляция

x/ Мы признательны доктору Д.В.Джозефу за его работу, присланную нам до ее опубликования.

для спина и четности  $\Pi^0$ -мезона  $2^+$ , и показано, что в этом случае  $|\lambda| < 0,19$ .

Таким образом, даже в наиболее благоприятном случае  $|\lambda|=0,19$ , необходимо наблюдать довольно большое число распадов по схеме /3/ /порядка нескольких сотен/ для того, чтобы непосредственно на основании опытных данных можно было сделать какие-либо определенные заключения о спине и четности  $\Pi^0$ -мезона. Хотя подобный эксперимент и является чрезвычайно трудоемким, однако повышение эффективности регистрации таких распадов путем наблюдения остановок медленных  $\Pi^-$ -мезонов в жидкок-водородной пузырьковой камере делает его реально осуществимым.

В заключение авторы выражают благодарность Д.В.Ширкову за обсуждение ряда вопросов, связанных с настоящей работой, а также Л.И.Краснослободцевой, Т.С.Сажневой и Ю.Л.Сайкиной за просмотр пленки.

#### Л и т е р а т у р а

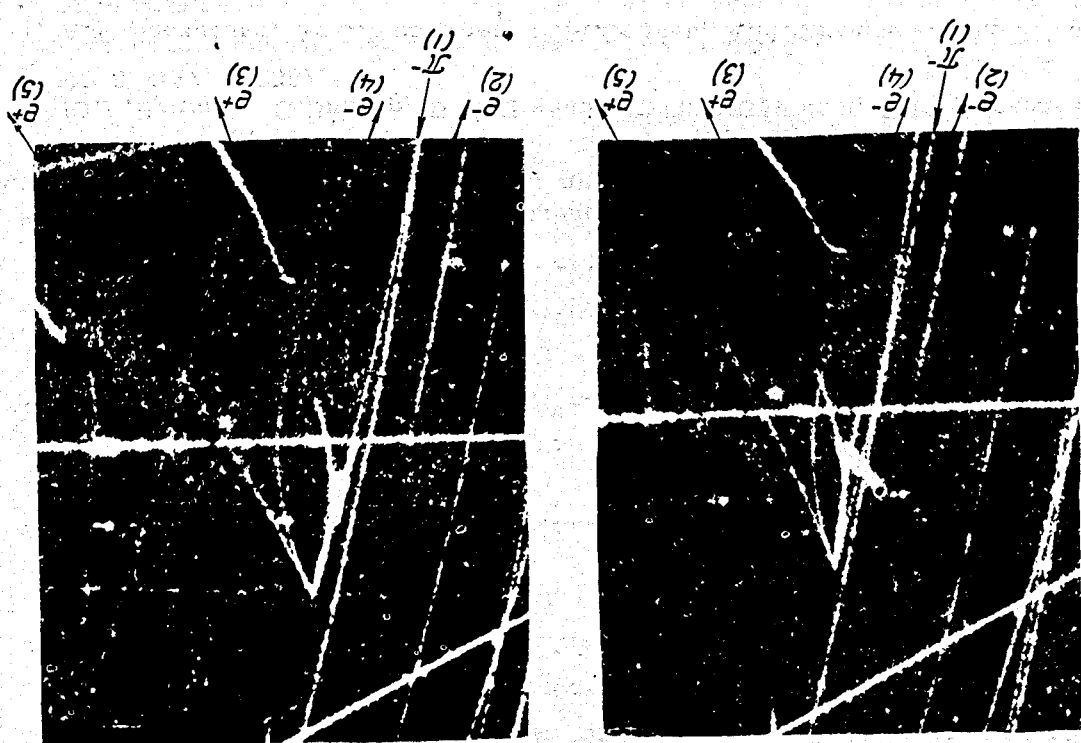
1. R.H.Dalitz, Proc.Phys.Soc., A,64, 667(1951)
2. N.M.Kroll, W.Wada, Phys.Rev. 98, I355(1955)
3. D.W.Joseph, препринт, 1958.
4. A.L.Hodson, J.Ballam,W.H.Arnold,D.R.Harris, R.R.Rau, G.T.Reynolds, S.B.Treiman, Phys.Rev. 96, I089(1954)
5. Ю.А.Будагов, С.Виктор, В.П.Джелепов, П.Ф.Ермолов, В.И.Москалев. Материалы совещания по камерам Вильсона, диффузионным и пузырьковым камерам, ОИЯИ, Дубна, 1958 г.
6. Ю.А.Будагов, С.Виктор, В.П.Джелепов, П.Ф.Ермолов, В.И.Москалев, ЖЭТФ, 35, № 6 /12/, /1958/.
7. А.Т.Василенко, М.С.Козодаев, Р.М.Суляев, А.И.Филиппов, Ю.А.Шербаков, ПТЭ, № 6 /1957/.
8. J.Franclin, Phys.Rev. 105, II0I(1957)
9. C.N.Yang, Phys.Rev. 77, 722(1950)
10. E.Karlson, Arkiv för Fysik, 13, I(1958)

Работа поступила в издательский отдел 20.XII.58 года.

ночненнаа с номотроо булоподоо инифызнонноо камепи.

$\pi^- + p \rightarrow \pi^0 + n$  с носенуионм пачиано  $\pi^0 \rightarrow e^- + e^+ + e^- + e^+$ .

Рис. 1. Стреоофорапина сиыраа 3ападоо-6мехноло пачеанинг



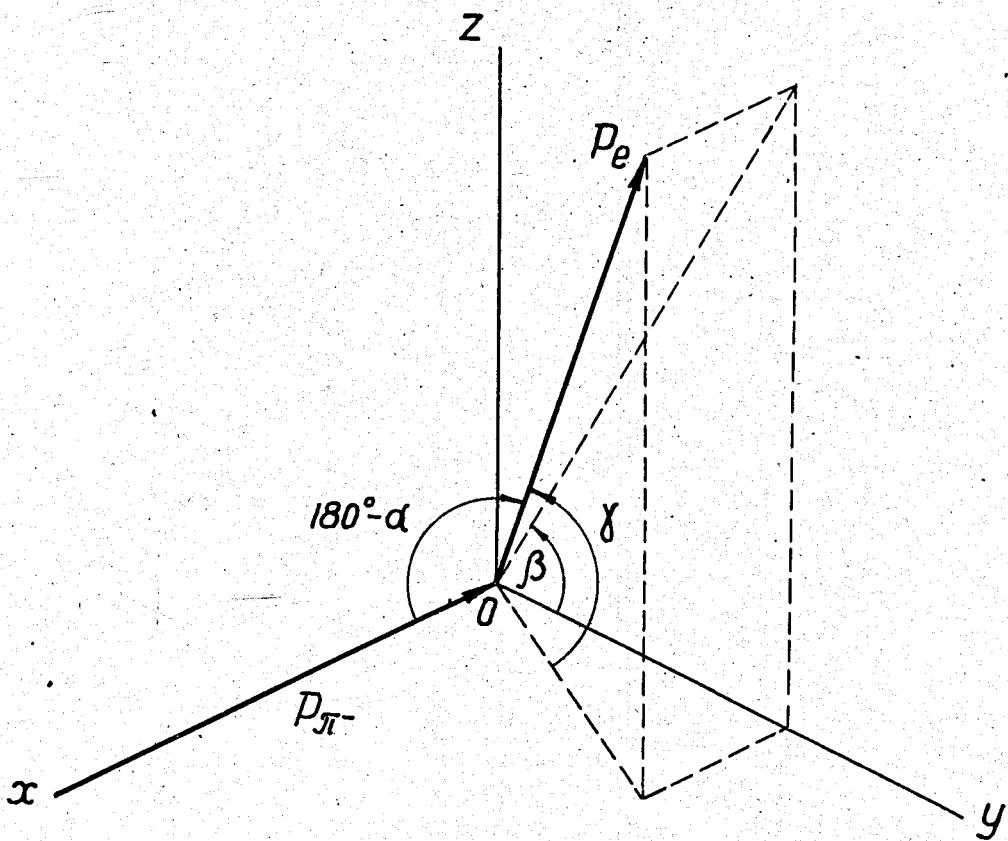


Рис. 2. Углы  $\alpha$ ;  $\beta$  и  $\gamma$  для одной частицы распада.